

## بررسی و مقایسه رفتار نوری لایه های نانو ساختار غیر همگن $TiO_2$ و $TiO_2/Al_2O_3$

ایمان عابدی<sup>۱</sup>، ابوالقاسم نورمحمدی<sup>۲\*</sup>، علیرضا آقایی<sup>۳</sup>

<sup>۱</sup> دانشجوی کارشناسی ارشد، مهندسی مواد، گرایش سرامیک، دانشگاه آزاد اسلامی، واحد نجف آباد

<sup>۲</sup> استادیار، عضو هیئت علمی گروه مهندسی نانوفناوری، دانشکده علوم و فناوری های نوین، دانشگاه اصفهان

<sup>۳</sup> دانشیار، عضو هیئت علمی پژوهشکده سرامیک، پژوهشگاه مواد و انرژی

تاریخ ثبت اولیه: ۹۳/۴/۱۰، تاریخ دریافت نسخه اصلاح شده: ۹۳/۴/۱، تاریخ پذیرش قطعی: ۹۳/۴/۲

**چکیده** پوشش های نانوفوتکاتالیست، در معرض تاپش فوتون های پرانرژی، توانایی حذف ترکیبات سمی آلی از محیط های گازی و آبی را دارا می باشند. اما این پوشش ها به دلیل سطح ویژه کم، نسبت به نانوذرات کارایی کمتری از خود نشان می دهند. برای بهبود کارایی باید ریزساختار این پوشش ها را تصحیح کرد. در این تحقیق، سنتز لایه نانوفوتکاتالیست غیرهمگن  $TiO_2/Al_2O_3$  با استفاده از فرایند سل-ژل انجام شد. از قطعه های کوارتز به صورت زیرلایه استفاده شد و سپس، به روش لایه نشانی چرخشی، به ترتیب سل های  $Al_2O_3$  و  $TiO_2$  بر روی زیرلایه کوارتز نشانه شدند و به ترتیب در دمای ۸۰۰ و ۵۰۰ درجه سانتی گراد عملیات حرارتی شدند. تبلور فازهای گاما آلمینیا و آناتاز به کمک پراش سنجی اشعه ایکس تایید شد. اندازه بلورک های لایه آناتاز به کمک میکروسکوپ الکترون-رویشی حدود ۲۰ نانومتر بدست آمد. از آنالیز طیف سنجی جذبی UV جهت محاسبه گاف انرژی استفاده شد و با توجه به طول موج جذب، گاف اصلی محاسبه شده برای  $TiO_2$ ،  $TiO_2/Al_2O_3$  و برای  $Al_2O_3$  به دست آمد. طیف های نشری به دست آمده توسط آنالیز فوتولومینسانس جهت تایید وجود تهی جای اکسیژن مورد بررسی قرار گرفت. نتیجه حاصل شده نشان داد که با افزودن  $Al_2O_3$ ، ممکن است تهی جای اکسیژن خشی پایدار شوند.

**کلمات کلیدی:** نانوفوتکاتالیست ها، لایه غیرهمگن، اکسید تیتانیوم، اکسید آلمینیوم، تهی جاهای اکسیژن.

## Characterization and Comparison of the Nanostructured Heterogenous $TiO_2/Al_2O_3$ and $TiO_2$ Films

I. Abedi<sup>1</sup>, A. Nourmohammadi<sup>\*2</sup> and A. Aghaei<sup>3</sup>

<sup>1</sup> Islamic Azad University, Najaf Abad Branch, Department of Materials Engineering

<sup>2</sup> Department of Nanotechnology, Faculty of Advanced Science and Technologies, University of Isfahan, Isfahan

<sup>3</sup> Ceramic Research Institute, Materials and Energy Research Center (MERC)

**Abstract** Nano photo-catalyst coatings, exposed to high-energy photons, have the ability to remove toxic organic compounds from gaseous and aqueous environments. But these coatings, due to lower surface area, are less efficient than nanoparticles. Microstructure of these coatings should be modified in order to improve their efficiency. In this study, nanostructured  $TiO_2/Al_2O_3$  heterogeneous films were synthesized by the sol-gel method. Quartz sheets were used as the substrates, and  $Al_2O_3$  and  $TiO_2$  sols were, in turn, deposited on these substrates by the spin coating method, respectively. The deposited layers were sintered at 800°C and 500°C, respectively. Crystallization of gamma-alumina and anatase phases was confirmed by X-ray diffraction (XRD). The average crystallite size of the anatase films was measured to be about 30 nm by using scanning electron microscopy (SEM). UV-vis absorption spectroscopy was used to calculate the energy gap, and based on the measured absorption wavelengths; the total gaps were calculated to be 3.81 eV and 4.47 eV, for  $TiO_2$  and  $TiO_2/Al_2O_3$  layers, respectively. The emission spectra obtained by the photoluminescence analysis were used to confirm the oxygen vacancy formation. Our results showed that, by the addition of  $Al_2O_3$ , neutral oxygen vacancies may be thermodynamically stable stabilized in  $TiO_2$ .

**Keywords:** Nano photocatalysts, Heterogeneous film, Titanium Dioxide, Alumina, Oxygen Vacancies.

\* عهده دار مکاتبات

نشانی: گروه مهندسی نانوفناوری، دانشکده علوم و فناوریهای نوین دانشگاه اصفهان، اصفهان، خیابان هزارجریب کد پستی ۷۳۴۱۱-۷۳۴۶-۸۱۷۴۶، ایران.

تلفن: +۹۸ ۳۱۴-۳۷۹۳۴۴۰۴، پیام نگار: a.nourmohammadi@sci.ui.ac.ir

## مقدمه

این روش بوده و اگرچه مغناطیسی کردن دیاکسید تیتانیوم به کمک ذرات فرومگتیک به جداسازی آن کمک می‌کند، ولی در مجموع این روش از نظر اقتصادی مفروض به صرفه نبوده و در ضمن محدود به محیط‌های آبی می‌باشد [۸,۹]. لذا امروزه تلاش برای ایجاد پوشش‌های تیتانیایی با فعالیت فوتوكاتالیستی بالا مدنظر می‌باشد.

روش‌های گوناگونی برای ایجاد پوشش و لایه‌های نانوفوتوكاتالیست  $TiO_2$  مانند رسوب شیمیایی بخار [۱۰]، کاشت یونی با منبع پلاسمایی [۱۱]، رسوب‌دهی با لیزر [۱۲]، پراکنش مغناطیسی [۱۳] و فرآیند سل-ژل [۱۴,۱۵] به کار رفته است. روش رسوب شیمیایی و فیزیکی بخار هزینه‌بر بوده و در مقابل، روش سل-ژل، روشی ارزان با قابلیت اجرایی آسان به شمار می‌رود و برای ایجاد پوشش‌های نانوفوتوكاتالیست، برای مصارف حذف آلودگی‌های محیط‌های آبی و گازی مفروض به صرفه است.

پوشش‌های نانوفوتوكاتالیست  $TiO_2$ ، می‌توانند به صورت دو یا چند جزیی، همگن و غیرهمگن، تولید شوند که این امر سبب بهبود خواص و افزایش راندمان نانوفوتوكاتالیست می‌گردد. در نانوفوتوكاتالیست‌های همگن، قسمت عمدای از فوتوكاتالیست در تماس با عامل آلوده‌کننده نیست و این موجب کاهش راندمان فوتوكاتالیست می‌شود، لذا برای حل این مشکل باید به دنبال ستز نانوفوتوكاتالیست‌های غیرهمگن بود، زیرا سطح تماس با عامل آلوده کننده نسبت به حالت همگن افزایش یافته و راندمان فوتوكاتالیست افزایش می‌یابد. در این تحقیق لایه نانوفوتوكاتالیست غیرهمگن  $TiO_2/Al_2O_3$  به جای فوتوكاتالیست فاز مخلوط این دو ماده ستز شده است. زیرا با توجه به جذب و نشر نور بالای آلومینا که ناشی از گاف انرژی مستقیم آن است و توان جذب پایین نور توسط دیاکسید تیتانیوم که ناشی از گاف انرژی غیرمستقیم آن می‌باشد، تولید این نانوفوتوكاتالیست سبب بهبود فعالیت فوتوكاتالیستی دیاکسید تیتانیوم شده است. همچنین با توجه به تماس مستقیم ماده فوتوكاتالیست با محلول حاوی مولکول‌های آلی در لایه نانوفوتوكاتالیست غیرهمگن

آلودگی‌های زیست محیطی، ناشی از صنعتی شدن جوامع یکی از مشکلات پیش روی بشر در قرن حاضر است و بر طرف نمودن این مشکل از چالش‌های جوامع علمی به شمار می‌رود. اگرچه امروزه نانوفیلترها به منظور جداسازی آلاینده‌ها، گسترش قابل ملاحظه‌ای یافته‌اند، اما حذف آلودگی‌های زیست محیطی اقدامی موثر در جهت حل این معضل به شمار می‌رود. در میان روش‌های حذف آلودگی‌های زیست محیطی، استفاده از فوتوكاتالیست‌ها به دلیل نداشتن اثرات جنبی از اهمیت بیشتری برخوردار است. فوتوكاتالیست‌ها، نیم‌رساناهایی هستند که در معرض نور باشدت بالا، توانایی اکسید کردن ترکیبات آلی را خواهند داشت. در حضور نور باشدت بالا، الکترون نوار ظرفیت تهییج شده و به نوار هدایت منتقل می‌شود که در نتیجه آن، در نوار ظرفیت حفره‌ای ایجاد می‌شود. حفره‌ها و الکترون‌های ایجاد شده در این فرآیند، در حضور اکسیژن و آب می‌توانند رادیکال‌های هیدروکسیل را به منظور تجزیه ترکیبات آلی، به وجود آورند [۱-۳].

فوتوكاتالیست نیم‌رسانا یک تکنولوژی پیشرفته است که در سیستم‌های زیست محیطی مثل تصفیه هوا، ضد عفونی آب، اصلاح باطله‌های خطرناک و تصفیه آب به کار می‌رود [۴,۵]. از میان این نیم‌رساناهای فوتوكاتالیست که شامل  $ZnS$ ,  $CdS$ ,  $TiO_2$ ,  $Fe_2O_3$ ,  $ZnO$  و غیره می‌باشند،  $TiO_2$  به دلایلی چون خشی بودن از نظر بیولوژیکی و شیمیایی، غیرسمی بودن، فعالیت فوتوكاتالیستی بالا، پایداری شیمیایی و فیزیکی بالا، مقاومت در برابر خودگی نوری و قیمت نسبتاً پایین کاربرد بیشتری در این زمینه دارد [۱]. به همین دلیل، توجه علمی و تکنیکی چشمگیری به خواص فوتوكاتالیستی نانوپودر  $TiO_2$  معطوف شده است. از زمانی که فوجی شیما و هوندا تجزیه فوتوكاتالیستی آب در حضور دیاکسید تیتانیوم را کشف کردند، خاصیت فوتوكاتالیستی این ماده به شدت مورد مطالعه قرار گرفت [۶,۷]. استفاده از پودر دیاکسید تیتانیوم در جهت حذف مواد سمی در پساب‌ها رایج بوده و امروزه نانوپودر دیاکسید تیتانیوم به دلیل داشتن سطح ویژه بالا از قابلیت بیشتری در این زمینه برخوردار است. بازیابی پودر از مشکلات

پیش‌ماده با اسیدها به خوبی واکنش دهنده. سپس مخلوط  $6/5$  مول آب دوبار تقطیر و  $۰/۲۷$  مول اتانول بسیار آرام و به مدت  $۲$  ساعت به محلول فوق اضافه شد و مجدداً به مدت  $۴۵$  دقیقه بر روی همزن مغناطیسی، هم‌زده شد تا فرایند هیدرولیز در محلول به خوبی صورت گیرد. سپس  $۱/۱$  مول اتیلن‌گلیکول (مرک با خلوص  $۹۹/۵$  درصد) به محلول فوق اضافه شد و در نهایت چند قطره اسید کلریدیریک (مرک با خلوص  $۳۷$  درصد) به سل اضافه شد تا  $pH$  آن در بازه حدودی  $۲/۵-۳/۵$  قرار گیرد. در انتها ظرف حاوی سل با گاز نیتروژن پرشد و به مدت  $۱۵$  الی  $۲۵$  ساعت بر روی همزن مغناطیسی، هم‌زده شد تا سلی شفاف و پایدار تشکیل شود. سپس نمونه لایه‌نشانی شده گاما آلومینیا را درون دستگاه لایه‌نشانی چرخشی قرار داده و توسط قطره‌چکان چند قطره از سل  $TiO_2$  تهیه شده، بر روی نمونه فوق چکانده شد، به طوری که کاملاً سطح نمونه از سل پوشانده شد. سپس دستگاه با سرعت  $۳۰۰۰$  رادیان بر دقیقه و به مدت  $۳۰$  ثانیه شروع به کار کرد و پس از آن نمونه را از داخل دستگاه خارج شده و به مدت  $۲۴$  ساعت در دمای محیط خشک شد. در نهایت نمونه فوق به مدت  $۲$  ساعت در دمای  $۵۰۰$  درجه‌سانتی‌گراد عملیات حرارتی شد و بدین صورت لایه‌ای از  $TiO_2$  با فاز آناتاز بر روی نمونه شامل لایه گاما آلومینیا، ایجاد شد. به این ترتیب لایه نانوفوتوکاتالیست غیرهمگن  $TiO_2/Al_2O_3$  به روش سل-ژل و توسط لایه نشانی چرخشی ساخته شد.

به منظور مقایسه و بررسی رفتار نوری نانوفوتوکاتالیست  $TiO_2$  فوق یک نمونه دیگر شامل لایه نانوفوتوکاتالیست  $Al_2O_3$  خالص نیز با روش ذکر شده در بالا، بدون لایه نشانی  $Al_2O_3$  بر روی کوارتز، تهیه شد.

برای بررسی تشکیل فازهای  $Al_2O_3$  و  $TiO_2$  از دستگاه پراش پرتو ایکس استفاده شد. در پژوهش حاضر به علت اینکه نانوفوتوکاتالیست غیرهمگن  $TiO_2/Al_2O_3$  به صورت لایه سنتز شده است، نمی‌توان از روش شرر برای محاسبه اندازه بلورک‌ها استفاده نمود، زیرا در نمونه‌های تهیه شده، به دلیل اختلاف بین ضریب انبساط حرارتی لایه  $TiO_2$  و  $Al_2O_3$ ، تنش در لایه ایجاد می‌شود و به دلیل وجود تنش و در نتیجه کرنش تغییر محسوسی در پهنهای خطوط پراش اشعه ایکس ایجاد

به جای فوتوکاتالیست فاز مخلوط این دو ماده، لایه‌لایه بودن نانوفوتوکاتالیست سبب بهبود فعالیت و افزایش راندمان آن می‌شود. با توجه به خواص برتری که با استفاده از ترکیب لایه نانوفوتوکاتالیست غیرهمگن  $TiO_2/Al_2O_3$  مشاهده شده، تولید این نانوفوتوکاتالیست دارای اهمیت بسیار است و می‌تواند گامی مهم در تولید فوتوکاتالیست‌های پیشرفته در کشور باشد.

## ۲- نحوه آزمایش

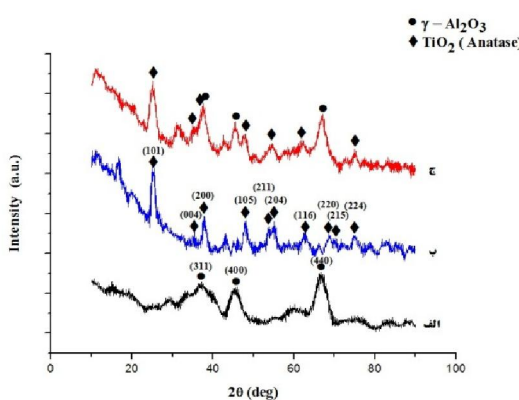
ابتدا  $۲۰$  مول اتانول (مرک با خلوص  $۹۹$  درصد) به  $۱$  مول کلرید آلومینیوم  $۵$  آبه (مرک با خلوص  $۹۸$  درصد) به آرامی و به مدت زمان  $۲۰$  دقیقه اضافه شد. سپس محلول حاصل به مدت  $۱$  ساعت بر روی همزن مغناطیسی، به هم زده شد. سپس  $۲$  مول استیل استون (مرک با خلوص  $۲۵$  درصد) به محلول حاضر که در حال بهم خوردن بود، به آرامی و به مدت زمان  $۳۰$  دقیقه اضافه شد. در انتها ظرف حاوی سل با گاز نیتروژن پوشیده و به مدت  $۵$  الی  $۱۰$  ساعت بر روی همزن مغناطیسی، هم‌زده شد تا فرایند هیدرولیز به خوبی انجام شود تا سلی شفاف و پایدار به رنگ نارنجی تشکیل شود. سپس زیرلایه کوارتزی را درون دستگاه لایه‌نشانی چرخشی قرار داده و توسط قطره‌چکان چند قطره از سل  $Al_2O_3$  تهیه شده، بر روی زیرلایه فوق چکانده شد، به طوری که کاملاً سطح کوارتز از سل پوشانده شد. سپس دستگاه با سرعت  $۲۰۰۰$  رادیان بر دقیقه و به مدت  $۳۰$  ثانیه شروع به کار کرد و پس از آن نمونه را از داخل دستگاه خارج شده و به مدت  $۲۴$  ساعت در دمای محیط خشک شد. در نهایت نمونه فوق به مدت  $۳$  ساعت و در دمای  $۸۰۰$  درجه‌سانتی‌گراد عملیات حرارتی شد و بدین صورت لایه‌ای از  $Al_2O_3$  با فاز گاما بر روی زیرلایه کوارتزی ایجاد شد.

به منظور تهیه سل  $TiO_2$ ، ابتدا  $۴$  مول اسید استیک گلاسیال (مرک با خلوص  $۱۰۰$  درصد) و سپس  $۱$  مول استیل استون، در حین هم‌زدن توسط همزن مغناطیسی به  $۱$  مول تیتانیوم تترا ایزوپروپوکساید (مرک با خلوص  $۹۷$  درصد) به آرامی و به مدت نیمساعت اضافه شد. سپس محلول حاصل به مدت  $۴۵$  دقیقه بر روی همزن مغناطیسی، هم‌زده شد تا

در تکنیک طیف‌سنجی فوتولومینسانس به وسیله پرتو لیزری که پس از عبور از فیلترها و عدسی‌ها و آینه، به صورت کاملاً موازی در آمده، به وسیله یک عدسی بر روی نمونه آزمایش ( $\text{TiO}_2/\text{Al}_2\text{O}_3/\text{TiO}_2$ ) متمرکز شد. با تابش تحریک، الکترون‌های نوار ظرفیت پس از جذب فوتون و برانگیختگی به نوار هدایت رفته و پس از برگشت به نوار ظرفیت فوتون را از خود ساطع می‌کند، فوتون‌های منتشر شده به وسیله دتکتور جهت تجزیه و تحلیل و رسم نمودار مربوطه به کامپیوتر منتقل شد و به وسیله نرم‌افزار اوریجین و یک زیر برنامه مخصوص پردازش پیک (Peak Fitter Toolbox) نمودارهای آن رسم گردید.

### ۳- نتایج و بحث

شکل (۱) الگوی پراش پرتو ایکس لایه  $\text{Al}_2\text{O}_3$  و  $\text{TiO}_2/\text{Al}_2\text{O}_3$  را نشان می‌دهد. با توجه به الگوی تمام پیک‌های مشاهده شده در الگوی لایه  $\text{Al}_2\text{O}_3$  و  $\text{TiO}_2$  در الگوی لایه نانوفوتوکاتالیست غیرهمگن  $\text{TiO}_2/\text{Al}_2\text{O}_3$  ظاهر شده اند و هیچ پیک اضافی در الگوی لایه نانوفوتوکاتالیست فوق نمایان نشده است. این بدان معنی است که لایه‌های  $\text{TiO}_2$  با  $\text{Al}_2\text{O}_3$  به طور جداگانه ستز شده‌اند و در شرایط ستز لایه نانوفوتوکاتالیست، هیچ فاز جدیدی ایجاد نشده و فقط لایه  $\text{TiO}_2$  به طور غیرهمگن روی لایه  $\text{Al}_2\text{O}_3$  نشانده شده است.



شکل ۱. الگوی پراش اشعه ایکس: (الف)  $\text{Al}_2\text{O}_3$ , (ب)  $\text{TiO}_2$  (Anatase) و (ج)  $\text{TiO}_2/\text{Al}_2\text{O}_3$

می‌شود. لذا برای محاسبه اندازه بلورک باید از روشی استفاده نمود که تاثیر تنش و در نتیجه کرنش شبکه را نیز در محاسبه اندازه بلورک در نظر بگیرد. بهمین دلیل به منظور محاسبه اندازه بلورک در نانوفوتوکاتالیست فوق از روش ویلیامسون-هال استفاده شد. رابطه ویلیامسون-هال به فرم زیر می‌باشد:

$$\beta \cos \theta = \frac{0.9\lambda}{D} + 2A\varepsilon \sin \theta \quad (\text{معادله ۱})$$

که در این رابطه  $\lambda$  طول موج اشعه ایکس (معمولًا لامپ مسی است که در این لامپ  $\lambda=1.5406\text{\AA}$  می‌باشد)،  $D$  اندازه دانه،  $A$  ثابت ( $A=1$  معمولاً)،  $\varepsilon$  کرنش،  $\beta$  پهنای پیک در نیمه ارتفاع آن و  $\theta$  زاویه برآگ می‌باشد.

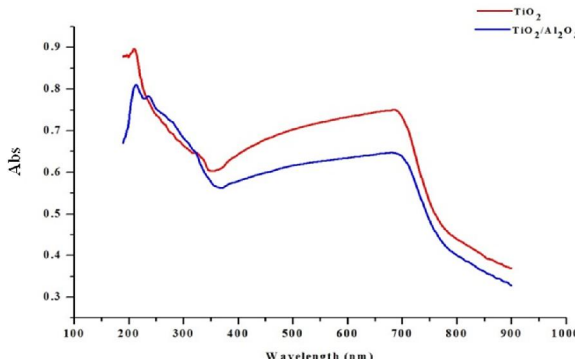
همان‌طور که از نوع معادله مشخص است اگر داده‌های مربوط به  $\beta \cos \theta$  بر حسب  $\theta$  Sin  $\theta$  برای تمامی پیک‌ها در الگوی پراش اشعه ایکس در زوایای مختلف، رسم شود باید بر روی یک خط راست واقع شوند که از روی شب آن می‌توان کرنش و از روی عرض از مبدأ آن می‌توان اندازه دانه را تعیین نمود.

به منظور تعیین خواص نوری نمونه‌ها، آنالیز طیف‌سنجی جذبی نور UV-vis انجام گرفت. اساس کار جذب نور UV به‌ویژه در مواد نیمرسانا، مربوط به انتقالات الکترونی لایه‌های بیرونی اتم می‌باشد که این جذب نشان‌دهنده برانگیختگی اتم ماده مورد نظر در اثر تابش نور UV می‌باشد که در نهایت منجر به یک توانایی فوتوکاتالیستی و کاتالیستی در ماده مورد نظر می‌شود. همچنین داده‌های عبوری و انعکاسی جهت محاسبه گاف انرژی برای نمونه‌های  $\text{TiO}_2$  و  $\text{TiO}_2/\text{Al}_2\text{O}_3$  نیز قابل استفاده است. بدین صورت که طول موج لبه جذب با استفاده از معادله (۲) برای نمونه‌های فوق به دست آمد [۱۶]. سپس با قرار دادن این طول موج‌های جذب در معادله (۳) گاف انرژی برای نمونه‌ها تخمین زده شد.

$$\alpha h\nu = A(h\nu - E_g)^{\frac{1}{2}} \quad (\text{معادله ۲})$$

$$E(\text{eV}) = \frac{1240}{\lambda(\text{nm})} \quad (\text{معادله ۳})$$

با توجه به شکل (۴) طول موج لبه جذب با استفاده از معادله ۲ برای نانوفوتوکاتالیست لایه نازک  $\text{TiO}_2$  ۳۲۵ نانومتر و برای نانوفوتوکاتالیست لایه نازک غیرهمگن  $\text{TiO}_2/\text{Al}_2\text{O}_3$  ۲۷۷ نانومتر به دست آمد [۸۱]. با قرار دادن این طول موج‌های جذب در معادله ۳ گاف انرژی تخمین زده برای  $\text{TiO}_2$  ۳.۸۱ eV و برای  $\text{TiO}_2/\text{Al}_2\text{O}_3$  ۴.۴۷ eV می‌باشد. همانگونه که در شکل ۴ مشاهده می‌شود نمونه  $\text{TiO}_2/\text{Al}_2\text{O}_3$  دارای شانه‌های جذب متعدد می‌باشد که ناشی زیرترازهای اپتیکی درون گاف انرژی  $\text{TiO}_2$  از عیوب نقطه‌ای می‌باشد و جذب موثر نمونه را افزایش خواهد داد.

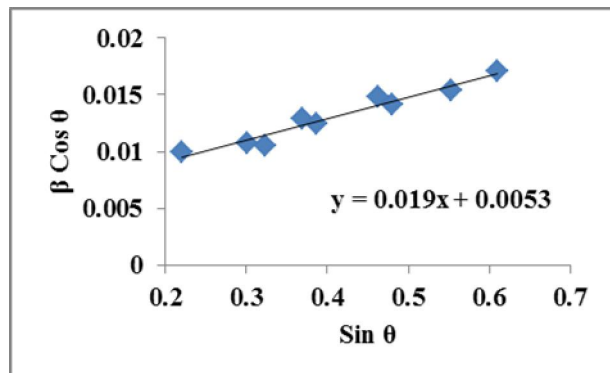


شکل ۴. طیف‌های جذبی  $\text{TiO}_2$  و  $\text{TiO}_2/\text{Al}_2\text{O}_3$ .

شکل‌های (۵-الف، ب و ج) طیف نشری به دست آمده از آنالیز فوتولومینسانس  $\text{TiO}_2$  را نشان می‌دهد که این طیف‌های نشری، در طول موج تحریک ۲۲۵، ۳۲۵ و ۴۰۰ نانومتر ثبت شده است. که بعد از طیف‌نمایی‌هایی در طول موج‌های مختلف و مشاهده اینکه رفتار نمونه‌ها در برابر این طول موج بهتر است و موقعیت قله‌ها را واضح‌تر به دست می‌دهد، انتخاب شد.

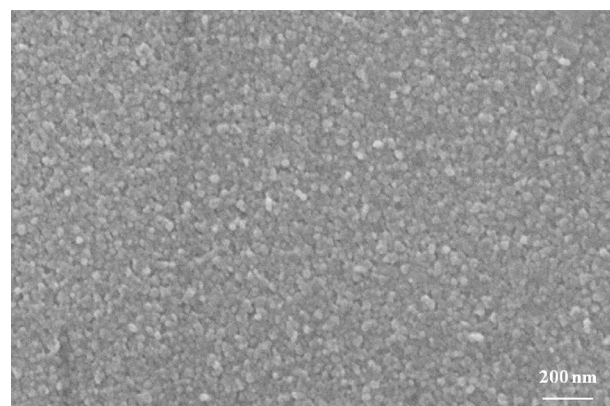
از آنجا که تابش یک عیب نقطه‌ای گاووسی است، برای مشخص کردن موقعیت قله‌ها، طیف‌های ثبت شده توسط نرم‌افزار اوریجین و یک زیر برنامه مخصوص پردازش پیک (Peak Fitter Toolbox)، تحلیل شد. در شکل ۵الف مشاهده می‌شود که طیف‌های اندازه‌گیری شده متشکل از چهار قله لگاریتم نرمال (توزیع گاووسی) می‌باشد. زیرا نشر لومنسانس ترکیبات اکسیدی به صورت ترکیب چند عامل نشر که هر یک به صورت یکتابع گاووسی نشر می‌نمایند، می‌باشد. قله‌ها شامل طول موج‌های ۳۶۸ و ۳۹۰ نانومتر (محدوده طیف فرابنفش)،

شکل (۲) نمودار ویلیامسون- هال نمونه لایه نانوفوتوکاتالیست غیرهمگن  $\text{TiO}_2/\text{Al}_2\text{O}_3$  را نشان می‌دهد که بر اساس این نمودار اندازه بلورک  $\text{TiO}_2$  ۲۶ نانومتر و مقدار کرنش ۱۹٪ به دست می‌آید.

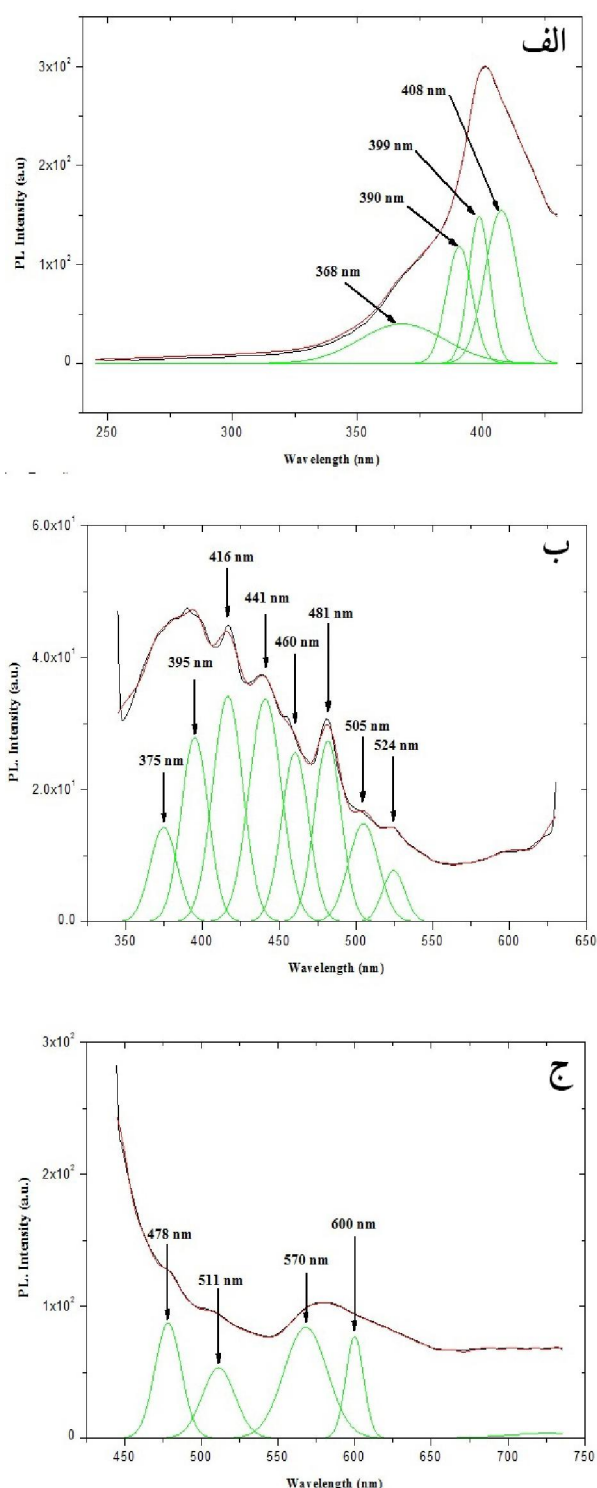


شکل ۲. نمودار ویلیامسون- هال نمونه لایه نانوفوتوکاتالیست غیرهمگن  $\text{TiO}_2/\text{Al}_2\text{O}_3$ .

شکل (۳) نشان‌دهنده تصویر میکروسکوپ الکترون- روشی نمونه لایه نانوفوتوکاتالیست غیرهمگن  $\text{TiO}_2/\text{Al}_2\text{O}_3$  می‌باشد، این تصویر نشان می‌دهد که اندازه بلورک‌های  $\text{TiO}_2$  در نمونه لایه نانوفوتوکاتالیست فوق در مقیاس نانو بوده و حدود ۳۰ نانومتر گزارش می‌شود و نتایج به دست آمده از محاسبات ویلیامسون- هال را تایید می‌کند. در عین حال شکل (۳) نشان‌دهنده یکنواختی پوشش تولید شده است. تولید یک لایه نازک یکنواخت مناسب بررسی اپتیکی فصل مشترک نانوفوتوکاتالیست غیرهمگن  $\text{TiO}_2/\text{Al}_2\text{O}_3$  می‌باشد. برای کاربرد عملی ساخت لایه‌های نازک و با درصد تخلخل بیشتر می‌تواند فعالیت لایه را افزایش دهد.



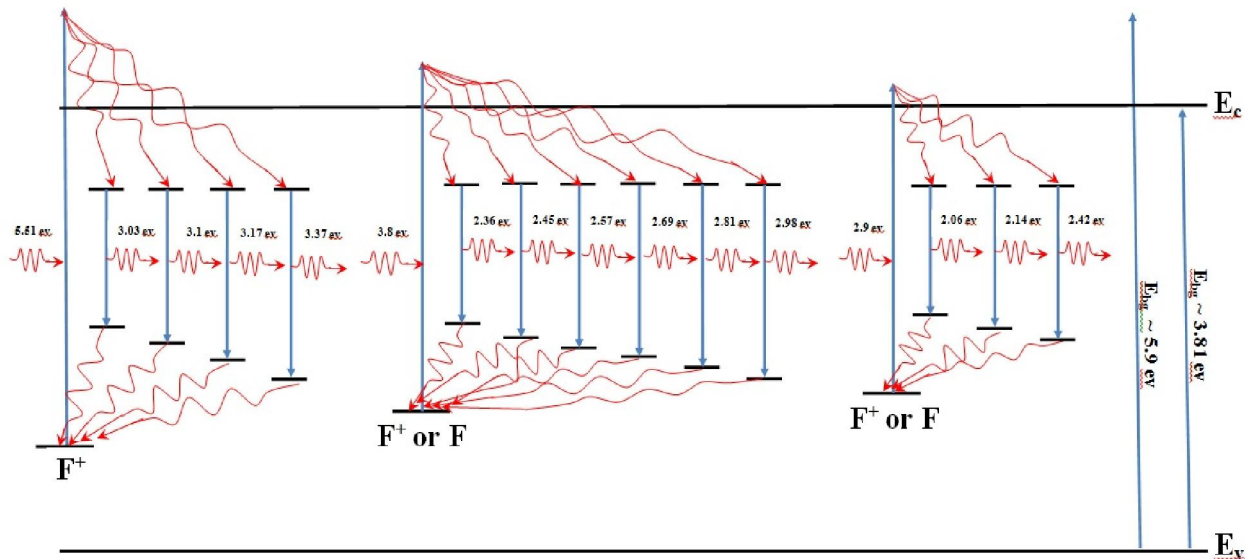
شکل ۳. تصویر میکروسکوپ الکترون- روشی نمونه لایه نانوفوتوکاتالیست غیرهمگن  $\text{TiO}_2/\text{Al}_2\text{O}_3$  در بزرگنمایی ۲۰۰۰۰.



شکل ۵. طیف نشری فوتولومینسانس  $\text{TiO}_2$  با طول موج تحریک (الف) ۲۲۵ نانومتر، (ب) ۳۲۵ نانومتر و (ج) ۴۲۵ نانومتر.

و ۳۹۹ و ۴۱۶ نانومتر (محدوده طیفی نور بنفش) می‌باشد. در شکل (ب) مشاهده می‌شود که طیف‌های اندازه‌گیری شده متشكل از هشت قله لگاریتم نرمال (توزیع گاوسی) می‌باشد که قله‌ها شامل طول موج ۳۷۵ و ۳۹۵ نانومتر (محدوده طیفی فرابنفش) و ۴۱۶ نانومتر (محدوده طیفی نور آبی) و ۴۴۱ و ۵۲۴ و ۴۸۱ نانومتر (محدوده طیفی نور سبز) می‌باشد. همچنین در شکل (ج) مشاهده می‌شود که طیف‌های اندازه‌گیری شده متشكل از چهار قله لگاریتم نرمال (توزیع گاوسی) می‌باشد که قله‌ها شامل طول موج‌های ۴۷۸ نانومتر (محدوده طیفی نور آبی) و ۵۷۰ و ۵۱۱ نانومتر (محدوده طیفی نور سبز) و ۶۰۰ نانومتر (محدوده طیفی نور نارنجی) می‌باشد [۱۷]. قله‌های ۳۶۸، ۴۰۸ و ۴۲۵ نانومتر مربوط به نشر ناشی از نقاط رنگ با بار  $e^+$  می‌باشدند که به نام مرکز رنگ  $F^+$  شناخته می‌شوند. این مرکز رنگ ناشی از وجود تهی جای اکسیژن می‌باشد که به نظر مرسد در  $\text{TiO}_2$  این تهی جای اکسیژن پایدار است و قله‌های ۵۷۰، ۵۲۴، ۵۱۱، ۵۰۵، ۴۸۱، ۴۷۸، ۴۶۰، ۴۴۱، ۳۹۵، ۳۷۵ و ۳۶۸ نانومتر ممکن است مربوط به نشر ناشی از نقاط رنگ با بار  $e^+$  باشند یا مربوط به نشر ناشی از نقاط بدون بار الکتریکی (خنثی) بوده که به نام مرکز  $F$  شناخته می‌شوند که هر دو مرکز رنگ، ناشی از وجود تهی جای اکسیژن می‌باشند [۱۸].

در شکل (۶) نتایج تجربی مربوط به گذارهای بین نواری شامل جذب و نشر مربوط به ساختار  $\text{TiO}_2$  که به دلیل عیوب نقطه‌ای باردار و خنثی ایجاد شده‌اند به صورت یک نمای شماتیک نشان داده شده است. به کمک این شکل مطالعه زیرترازهای فعال اپتیکی به خوبی امکان پذیر است زیرا تمامی گذارهای اپتیکی محتمل میان این زیرترازهای در این شکل ترسیم شده است. برای نمونه شانه‌های جذب که انرژی بیش از  $3.8\text{ eV}$  دارند، احتمالاً ناشی از جذب مرکز رنگ  $F^+$  می‌باشند.



شکل ۶. شماتیک مربوط به ساختار الکترونی لایه خالص  $\text{TiO}_2$  به منظور نمایش بهتر موقعیت‌های انرژی ایجاد شده توسط عیوب نقطه‌ای باردار و خشی.

(محدوده‌ی طیفی نور نیلی) و ۴۴۳، ۴۵۵، ۴۷۰ و ۴۸۰ نانومتر (محدوده‌ی طیفی نور آبی)، ۵۰۲، ۵۱۶، ۵۲۰ و ۵۳۸ نانومتر (محدوده طیفی نورساز) و ۶۰۰ و ۵۸۹ نانومتر (محدوده طیفی نور نارنجی) می‌باشند [۱۷]. قله‌های ۳۷۲، ۳۸۷ و ۴۰۰ و ۴۱۰ نانومتر مربوط به نشر ناشی از نقاط رنگ با بار  $e^+$  می‌باشد که به مرکز رنگ  $F^+$ ، شناخته می‌شوند. سایر قله‌های موجود در شکل‌های (۷-ب، ۷-ج و ۷-د) ممکن است مربوط به نشر ناشی از نقاط رنگ بدون بار الکتریکی (خشی) یا مربوط به نشر ناشی از نقاط رنگ با بار  $e^+$  می‌باشند که به مرکز  $F$  شناخته می‌شوند. هر دو مرکز رنگ، ناشی از وجود تهی جای اکسیژن می‌باشند که به نظر می‌رسد با افزودن  $\text{Al}_2\text{O}_3$  تهی جای اکسیژن خشی پایدار می‌شود [۱۸].

حل‌پذیری و قابلیت نفوذ یون‌های آلومینیوم به درون ساختار اکسید تیتانیوم در درصدهای مولی کم (تا ۵ mol%) پدیده شناخته شده‌ای است که پیشتر گزارش شده است [۱۹]. نتایج ما به خوبی نشان می‌دهد که آلومینیوم وارد شده به درون ساختار اکسید تیتانیوم، تاثیر قابل ملاحظه‌ای بر ساخت الکترونی ناشی از عیوب نقطه‌ای در مرز  $\text{TiO}_2/\text{Al}_2\text{O}_3$  می‌گذارد.

در شکل (۸) نتایج تجربی مربوط به گذارهای بین نواری شامل جذب و نشر که به دلیل عیوب نقطه‌ای خشی و باردار ایجاد شده‌اند، به صورت یک نمای شماتیک نشان داده شده است.

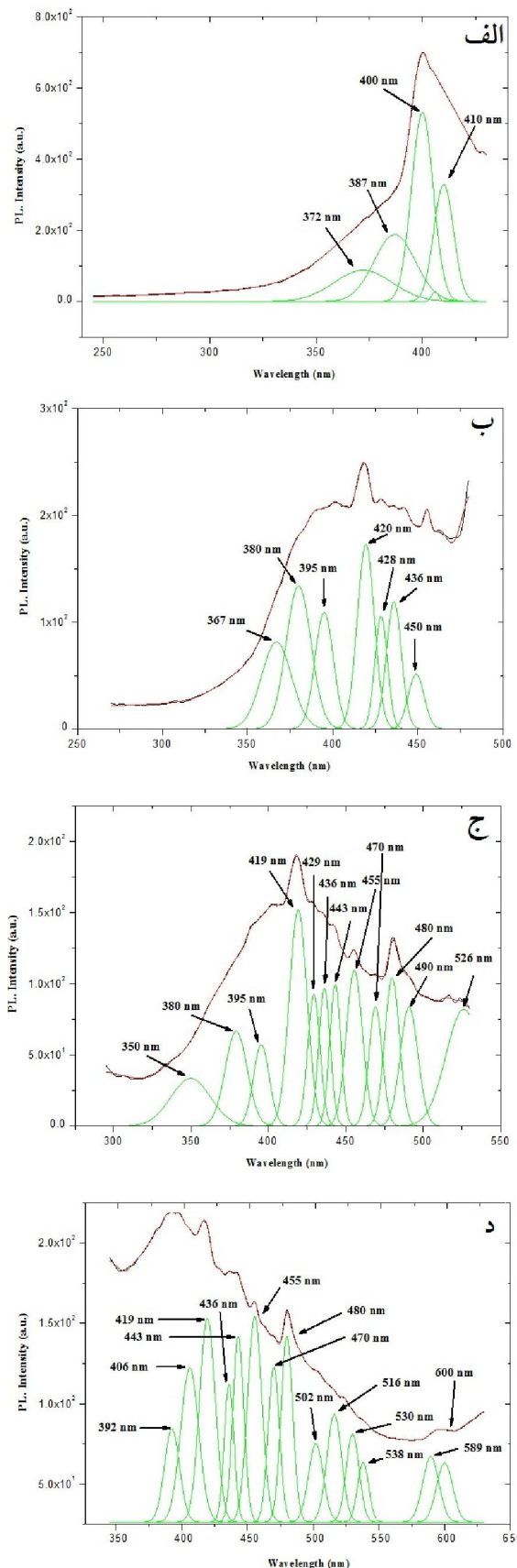
شکل (۷-الف، ۷-ب، ۷-ج و ۷-د)، طیف نشی به دست آمده از آنالیز فوتولومینسانس  $\text{TiO}_2/\text{Al}_2\text{O}_3$  را نشان می‌دهد که این طیف‌های نشی، در طول موج تحریک ۲۲۵، ۲۵۰، ۲۷۵ و ۳۲۵ نانومتر ثبت شده است. طول موج های تحریک ۲۲۵، ۲۵۰، ۲۷۵ و ۳۲۵ نانومتر به کمک طیف‌نمایی‌هایی در طول موج‌های مختلف و تعیین حداکثر شدت نشر انتخاب شد. برای مشخص کردن موقعیت قله‌ها، آن‌ها را توسط نرم‌افزار اوریجین و یک زیر برنامه مخصوص برآذش پیک (Toolbox Peak Fitter) تحلیل کردیم. با توجه به شکل (۷-الف) قله‌های شامل طول موج‌های ۳۷۲ و ۳۸۴ نانومتر (محدوده طیفی فرابنفش)، ۴۰۰ و ۴۱۰ نانومتر (محدوده طیفی نور بنفش)، در شکل (۷-ب) قله‌های شامل طول موج‌های ۳۶۷، ۳۸۰ و ۳۹۵ نانومتر (محدوده طیفی فرابنفش) و ۴۲۰ نانومتر (محدوده طیفی نور بنفش)، ۴۲۸ و ۴۳۶ نانومتر (محدوده طیفی نور نیلی) و ۴۵۰ نانومتر (محدوده طیفی نور آبی)، در شکل (۷-ج) قله‌های شامل طول موج‌های ۳۵۰، ۳۸۰ و ۳۹۵ نانومتر (محدوده طیفی فرابنفش)، ۴۱۹ نانومتر (محدوده طیفی نور بنفش)، ۴۲۹ و ۴۳۶ نانومتر (محدوده طیفی نور نیلی)، ۴۴۳، ۴۵۵، ۴۷۰، ۴۸۰ و ۴۹۰ نانومتر (محدوده طیفی نور آبی) و ۵۲۶ نانومتر (محدوده طیفی نور سبز)، در شکل (۷-د) قله‌ها شامل طول موج‌های ۳۹۲ نانومتر (محدوده طیفی فرابنفش)، ۴۰۶ و ۴۱۹ نانومتر (محدوده طیفی نور بنفش)، ۴۳۶ نانومتر

#### ۴- نتیجه‌گیری

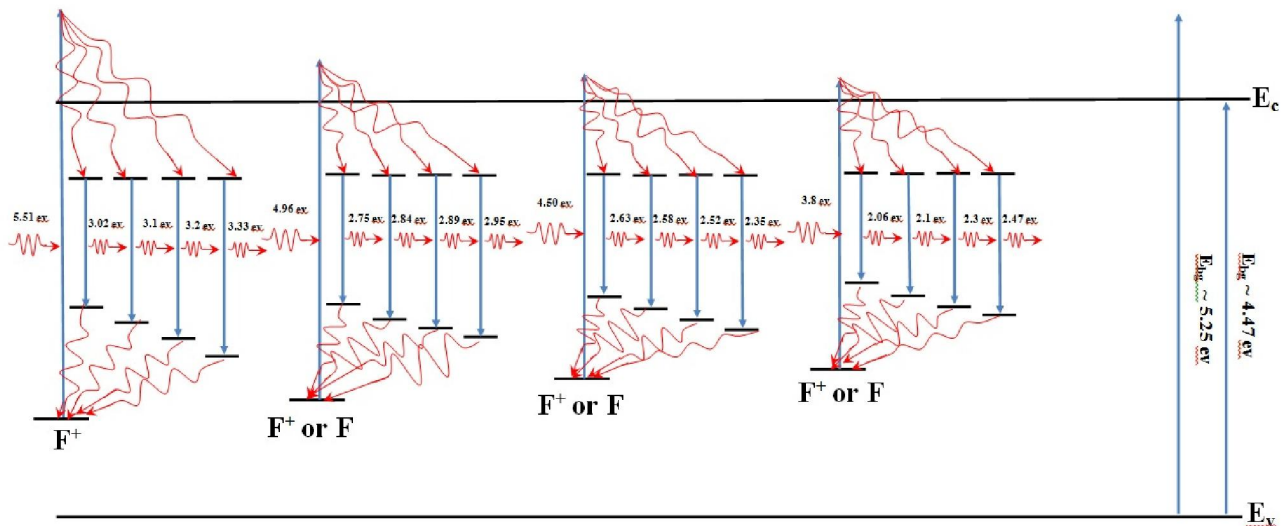
۱. با توجه به تست آنالیز طیف‌سنجی جذبی UV و با توجه به طول موج جذب، گاف انرژی محاسبه شده برای  $\text{TiO}_2/\text{Al}_2\text{O}_3$  و برای  $\text{TiO}_2$  می‌باشد..
۲. طیف نشري به دست آمده از آنالیز فوتولومینسانس  $\text{TiO}_2/\text{Al}_2\text{O}_3$  نشان می‌دهد که قله‌های طیف‌های  $e^+$  نشري، مربوط به نشر ناشي از نقاط رنگ با بار  $e^+$  می‌باشند که به مرکز رنگ  $\text{F}^+$  شناخته می‌شوند یا مربوط به نشر ناشي از نقاط بدون بار الکتریکی (خشی) می‌باشند که به مرکز F شناخته می‌شوند که هر دو مرکز رنگ، ناشي از وجود تهی جای اکسیژن می‌باشند. به نظر می‌رسد در  $\text{TiO}_2$  این تهی جای اکسیژن پایدار است.
۳. طیف نشري به دست آمده از آنالیز فوتولومینسانس  $\text{TiO}_2/\text{Al}_2\text{O}_3$  نشان می‌دهد که با افزودن  $\text{Al}_2\text{O}_3$  تهی جای اکسیژن خشی پایدار می‌شود.

#### مراجع

1. Fujishima, T. N. Rao, D. A. Tryk, "Titanium dioxide photocatalysis", *Journal of Photochem and Photobio. C: Photochchem*, vol. 1, pp. 1-21, 2000.
2. S.K. Lee, S. McIntyre, A. Mills, "Visible illustration of the direct, lateral and remote photocatalytic destruction of soot by titania", *Journal of Photochem And Photobio. A: chem*, vol. 162, pp. 203-206, 2004.
3. K. I. Ishibashi, A. Fujishima, T. Watanabe, K. Hashimoto, "Quantum yields of active oxidative species formed on  $\text{TiO}_2$  photocatalyst", *Journal of Photochem And Photobio. A: chem*, vol. 134, pp. 139-142, 2000.
4. Y. Lin, "Photocatalytic activity of  $\text{TiO}_2$  nanowire arrays", *Materials Letters*, vol. 62 , pp. 1246-1248, 2008.
5. Ma, G. K. L. Goh, T. S. Zhang, J. Ma, "Hierarchically structured anatase nanotubes and membranes", *Microporous and Mesoporous Materials*, vol. 124, pp. 162-168, 2009.
6. R. Bacsa, J. Kiwi, T. Ohno, P. Albers, V. Nadtochenko, "Preparation, testing and characterization of doped  $\text{TiO}_2$  active in the peroxidation of biomolecules under visible light", *Journal of Physical Chemistry B*, vol. 109, pp. 5994-6003, 2005.
7. Guillard, D. Debayle, A. Gagnaire, H. Jaffrezic, J. M. Herrmann, "Physical properties and photocatalytic efficiencies of  $\text{TiO}_2$  films prepared by PECVD and sol-gel methods", *Materials Research Bulletin*, vol. 39, pp. 1445-1458, 2004.
8. J. A. Byrne, B. R. Eggins, N. M. D. Brown, B. McKinney, M. Rouse, "Immobilisation of  $\text{TiO}_2$  powder for the treatment of polluted water", *Applied Catalysis B: Environmental*, vol. 17, pp. 25-36, 1998.
9. Guillard, B. Beaugiraud, C. Dutriez, J. M. Herrmann, H. Jaffrezic, N. Jaffrezic-Renauit, M. Lacroix, "Physicochemical properties and photocatalytic activities of  $\text{TiO}_2$ -films prepared by sol-gel methods", *Applied Catalysis B: Environmental*, vol. 39, pp. 331-342, 2002.



شکل ۷. طیف نشري فوتولومینسانس  $\text{TiO}_2/\text{Al}_2\text{O}_3$  با طول موج تحریک (الف) ۲۲۵ نانومتر، (ب) ۲۷۵ نانومتر، (ج) ۳۲۵ نانومتر و (د) ۳۷۵ نانومتر.



شکل ۸. شماتیک مربوط به ساختار الکترونی لایه غیرهمگن  $\text{TiO}_2/\text{Al}_2\text{O}_3$  نمایش دهنده موقعیت‌های انرژی ایجاد شده توسط عیوب نقطه‌ای باردار و خشی.

15. J. Yu, X. Zhao, "Effect of substrates on the photocatalytic activity of nanometer  $\text{TiO}_2$  thin films", *Materials Research Bulletin*, vol. 35, pp. 1293-1301, 2000.
16. Y. Huang, Y. Cai, D. Qiao, H. Liu, "Morphology-controllable synthesis and characterization of  $\text{CeO}_2$  nanocrystals", *Particuology*, vol. 9, pp. 170-173, 2011.
۱۷. ز. محمدپور، م. سروی، "روش‌های شناسایی نانوساختارها (روش‌های طیف سنجی نوری)", دانشکده علوم پایه گروه شیمی، دانشگاه شیراز، ۱۳۸۷.
18. V. Chaudhary, A. K. Srivastava, J. Kumar, "On the Sol-gel Synthesis and Characterization of Titanium Oxide Nanoparticles", *Materials Research Society*, vol. 1352, pp. 759-765, 2011.
19. Pae, Young Il, and Jong Rack Sohn. "Effect of  $\text{Al}_2\text{O}_3$  addition and  $\text{WO}_3$  modification on catalytic activity of  $\text{NiO}/\text{Al}_2\text{O}_3\text{-TiO}_2/\text{WO}_3$  for ethylene dimerization." *Bull. Korean Chem. Soc.* Vol. 28, pp 1763-1770, 2007.
10. Z. Ding, X. Hub, P. Yueb, G. Q. Lua, P. F. Greenfield, "Synthesis of anatas  $\text{TiO}_2$  supported on porous solid by chemical vapor deposition", *Catalysis Today*, vol. 68, pp. 173-182, 2001.
11. K. Babau, R. Hatada, "Synthesis and properties of  $\text{TiO}_2$  thin films by plasma source ion implantation", *Surface and Coatings Technology*, vol. 136, pp. 241-243, 2001.
12. M. Terashima, N. Inoue, S. Kashiwabara, R. Fujimoto, "Photocatalytic  $\text{TiO}_2$  thin-films deposited by a pulsed laser deposition technique", *Applied Surface Science*, vol. 169-170, pp. 535-538, 2001.
13. W. Zhang, S. Zhu, Y. Li, F. Wang, "Photocatalytic property of  $\text{TiO}_2$  film deposited by pulsed DC magnetron sputtering", *Journal of Materials Science and Technology*, vol. 20, pp. 31-34, 2004.
14. J.S. Kim, H. K. Joo, T. K. Lee, K. Itoh, M. Murabayashi, "Photocatalytic Activity of  $\text{TiO}_2$  Films Preserved under Different Conditions: The Gas-Phase Photocatalytic Degradation Reaction of Trichloroethylene", *Catalysis of Journal*, vol. 194, 484-486, 2000.